

第十九章 磁场中的磁介质



第十九章 磁场中的磁介质

19.1 磁介质

19.2 磁介质基本规律

19.3 铁磁质 `ferromagnet`

19.4 简单磁路

19.1 磁介质

一. 磁介质的分类

介质对场有影响 总场是

类比电介质中的电场

在介质均匀充满磁场的情况下

定义 $\mu_r = \frac{B}{B_0}$ 介质的相对磁导率

$\mu_r \geq 1$	顺磁质	} 线性介质
$\mu_r \leq 1$	抗磁质	
$\mu_r \gg 1$	铁磁质	

传导电流产生

$$\vec{B} = \vec{B}_0 + \vec{B}'$$

介质产生

磁介质的种类

$$\mu_r < 1$$

- 一般抗磁性 $\mu_r \approx 1$ 如: Cu, Ag, Cl₂, H₂ ...
- 完全抗磁性 $\mu_r = 0$ 超导体处于超导态
迈斯纳效应

$$\mu_r > 1$$

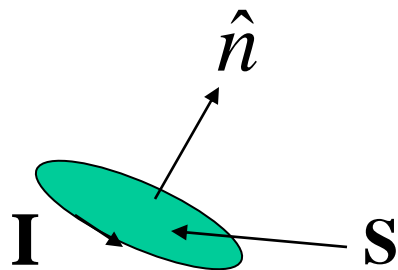
- 顺磁性 $\mu_r \approx 1$ 如: Mn, Al, O₂, N₂ ...
- 反铁磁性 $\mu_r \approx 1$ 如: FeO, CoO, MnO ...
- 铁磁性 $\mu_r \gg 1$ 如: Fe, Co, Ni ...
- 亚铁磁性 $\mu_r \gg 1$ 如: Fe₃O₄, Mn₃O₄ 等铁氧体

几种磁介质的相对磁化率 $\chi_m = \mu_r - 1$

磁介质种类		相对磁导率
抗磁性 $\mu_r < 1$	铋(239K)	-1.7×10^{-4}
	汞(239K)	-2.9×10^{-5}
	铜(293K)	-1.0×10^{-5}
	氢(气体)	-4.0×10^{-5}
顺磁性 $\mu_r > 1$	氧(液体, 90K)	7.7×10^{-3}
	氧(气体, 293K)	3.4×10^{-3}
	铝(293K)	1.7×10^{-5}
	铂(293K)	2.6×10^{-4}
铁磁性 $\mu_r \gg 1$	纯铁	5000(与H有关)
	硅钢	700(与H有关)
	坡莫合金	1×10^5 (与H有关)

二. 磁介质的磁化

1. 磁矩



$$\vec{m} = IS\hat{n} \equiv \vec{p}_m$$

磁场中力矩 $\vec{M} = \vec{m} \times \vec{B}$

能量 $W = -\vec{m} \cdot \vec{B}$

实验发现粒子一般有磁矩

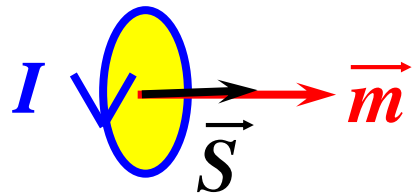
分子磁矩 = 核磁矩 + 电子轨道磁矩 + 电子自旋磁矩

实验证明

$$\vec{m} = \mu_m \vec{L}$$

粒子磁矩 磁矩因子 自旋或轨道角动量

a. 电子的磁矩



电子的轨道运动电流 $I = e \cdot \frac{v}{2\pi r}$

轨道磁矩 $m = \frac{ev}{2\pi r} \cdot \pi r^2 = \frac{evr}{2}$

电子轨道运动的角动量 $L = m_e vr$

电子轨道磁矩与轨道角动量的关系: $\vec{m} = -\frac{e}{2m_e} \vec{L}$

电子自旋磁矩和自旋角动量 \vec{S} 的关系: $\vec{m} = -g \frac{e}{2m_e} \vec{S}$

g 因子 2

b. 质子和中子的磁矩

质子轨道磁矩 $\vec{m} = \frac{e}{2m_p} \vec{L},$

中子无轨道磁矩

质子和中子都有自旋磁矩 $\vec{m} = g \frac{e}{2m_p} \vec{S}$

质子 $g = 5.5857,$

中子 $g = -3.8261$

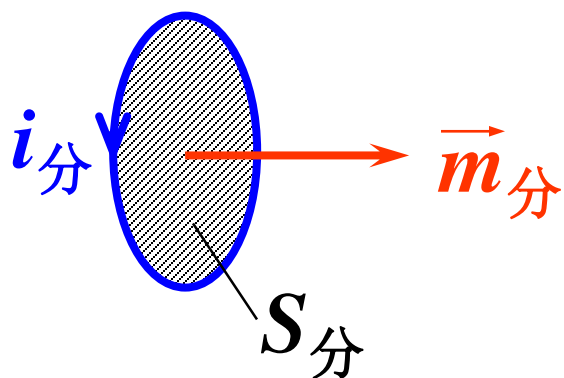
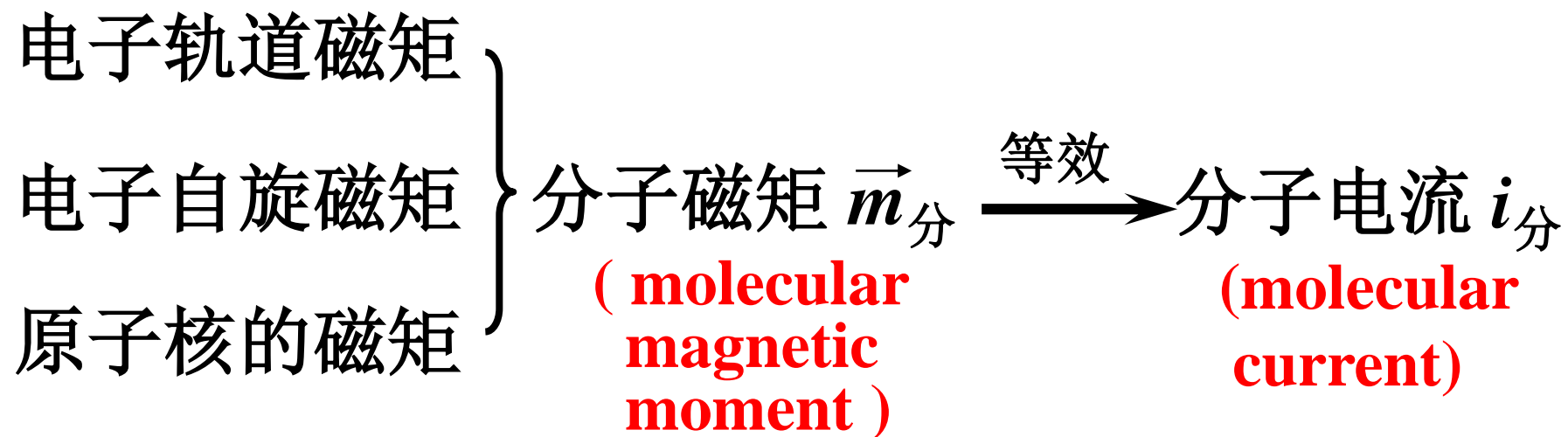
c. 原子核的磁矩

原子核的自旋磁矩 $\vec{m} = g \frac{e}{2m_p} \vec{I}$

\vec{I} 为核的自旋角动量，因子 g 由原子核决定

核磁矩远小于电子磁矩

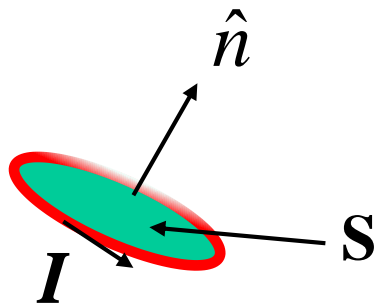
d. 分子磁矩和分子电流



安培的分子电流模型

分子电流不是真实电流

例:



导线截面积 S_0

$$\vec{m} = \mu_m \vec{L} \quad ?$$

$$I = jS_0 = nevS_0$$

$$L = 2\pi RS_0 n R m_e v$$

$$\mu_m = \frac{IS}{L} = \frac{e}{2m_e}$$

只和载流子的特性有关

2. 线性磁介质磁化的微观解释

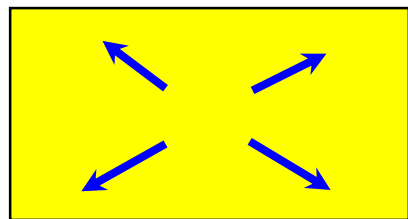
$$\text{分子磁矩} \begin{cases} \neq 0 & \text{顺磁质} & \text{paramagnet} \\ = 0 & \text{抗磁质} & \text{diamagnet} \end{cases}$$

1) 顺磁性

顺磁质分子有固有的分子磁矩（主要是电子贡献）

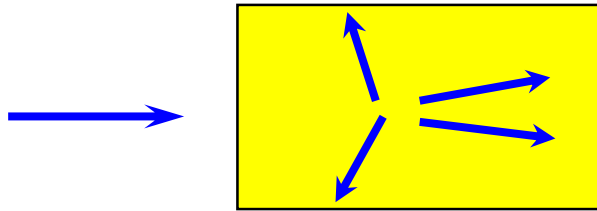
$$m_{\text{分}} \sim 10^{-23} \text{A} \cdot \text{m}^2。$$

$$\vec{B}_0 = 0$$



热运动使 $\vec{m}_{\text{分}}$ 完全
混乱，不显磁性。

$$\vec{B}_0 \neq 0$$

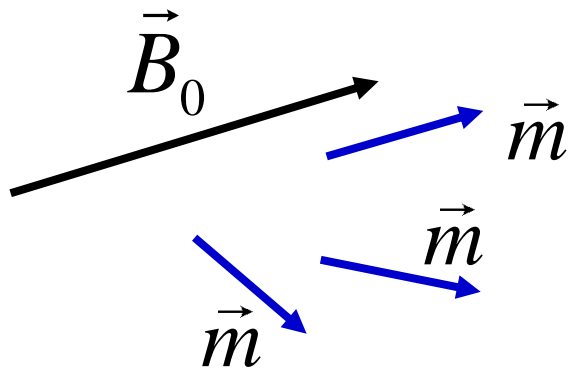


$$\vec{M} = \vec{m} \times \vec{B}$$

$$W = -\vec{m} \cdot \vec{B}$$

\vec{B}_0 使 $\vec{m}_{\text{分}}$ 排列趋于 \vec{B}_0 方向, 显现磁性。

热运动有均匀取向趋势

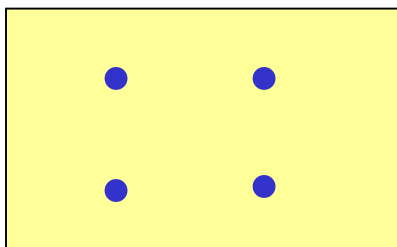


$$\frac{n(\theta)}{n_0} \propto e^{-\frac{W}{kT}} = e^{\frac{mB \cos \theta}{kT}}$$

2) 抗磁性

抗磁质的分子固有磁矩为 0。

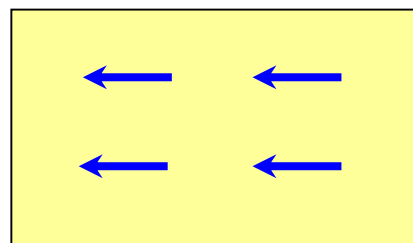
$$\vec{B}_0 = 0$$



$$\vec{m}_{\text{分}} = 0,$$

不显磁性

$$\vec{B}_0 \longrightarrow$$



$$\text{附加磁矩 } \Delta \vec{m}_{\text{分}} \parallel \vec{B}_0$$

显示抗磁性



为什么 $\Delta \vec{m}_{\text{分}}$ 反平行于 \vec{B}_0 呢？

$$\begin{aligned}\text{分子磁矩} &= \text{核磁矩} + \text{电子轨道磁矩} \\ &+ \text{电子自旋磁矩} = 0\end{aligned}$$

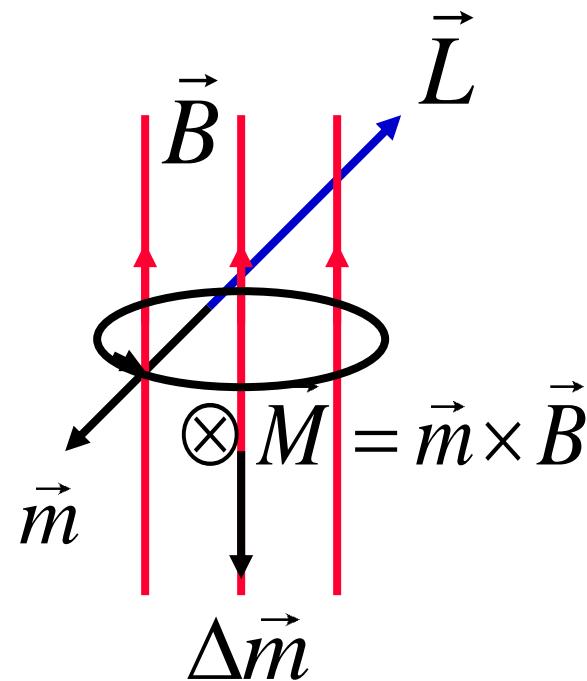
其中一磁矩，如某电子轨道磁矩

$$\vec{m} = \mu \vec{L}$$

$$\vec{M} = \vec{m} \times \vec{B} = \mu \vec{L} \times \vec{B} = \dot{\vec{L}} = \vec{\Omega} \times \vec{L}$$

(粒子角动量在弱外场下大小不变)

$$\vec{\Omega} = -\mu \vec{B} \quad \text{拉莫尔进动频率}$$



与拉莫尔进动相对应的转动惯量设为 Γ

进动角动量 $\Delta \vec{L} = \Gamma \vec{\Omega}$

附加磁矩或感应磁矩 $\Delta \vec{m} = \mu \Delta \vec{L} = -\mu^2 \Gamma \vec{B}$

总的感应磁矩与外场 \mathbf{B} 反向
减弱外场 \mathbf{B} ，这是抗磁介质的机理。

顺磁介质也有感应磁矩产生，但与磁矩顺排效果相比可忽略。

19.2 磁介质基本规律

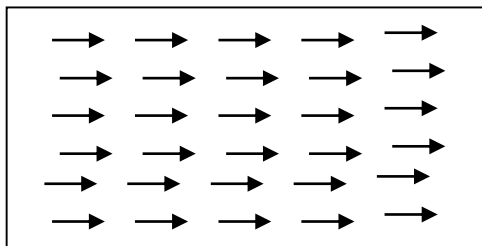
1. 磁化强度

$$\vec{M} = \lim_{\Delta V \rightarrow 0} \frac{\sum_i \vec{m}_i}{\Delta V}$$

平均分子磁矩

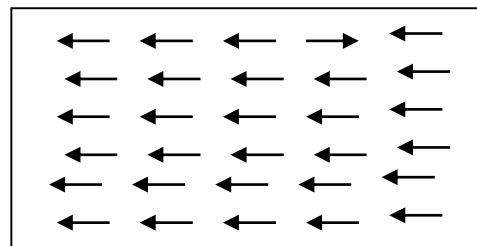
$$\vec{m}_{\text{平均}} = i_{\text{平均}} \vec{S}_{\text{平均}} = \frac{\vec{M}}{n}$$

顺磁质



\vec{B}_0

抗磁质

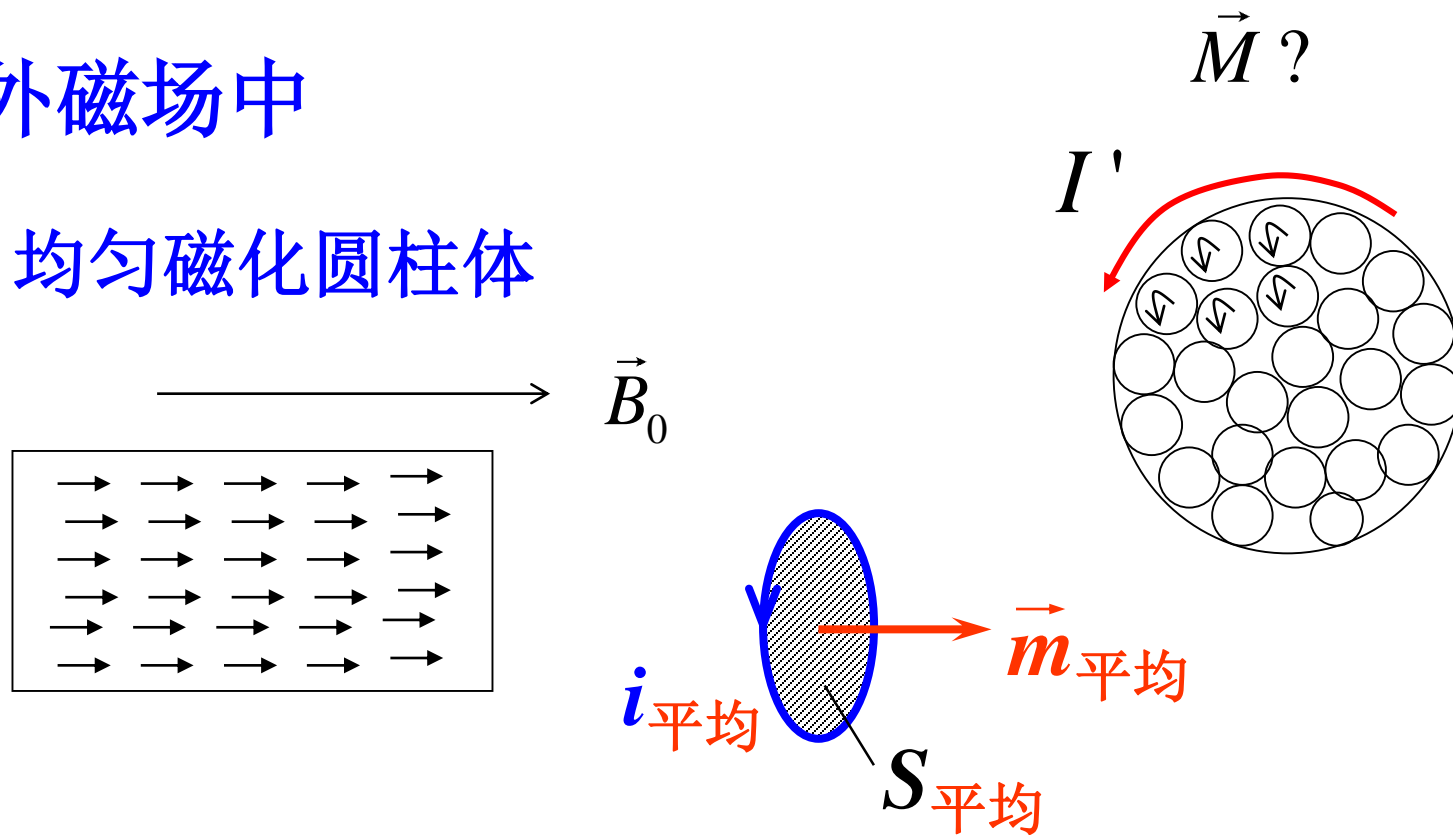


没有外磁场，顺磁介质每个磁矩均匀取向

$$\sum_i \vec{m}_i = 0 \quad \rightarrow \quad \vec{m}_{\text{平均}} = 0$$

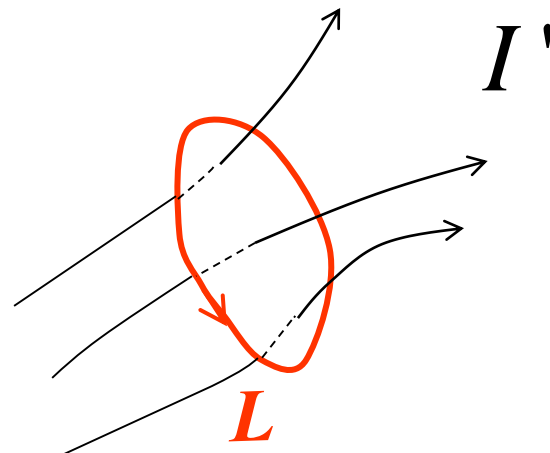
外磁场中

均匀磁化圆柱体



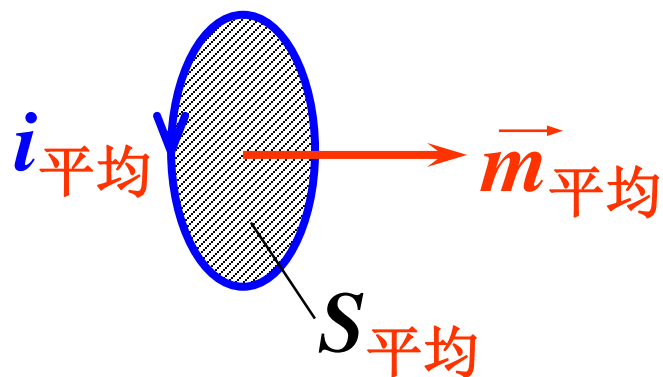
2. 磁化电流

$$\oint_L \vec{M} \cdot d\vec{l} = \sum I'$$

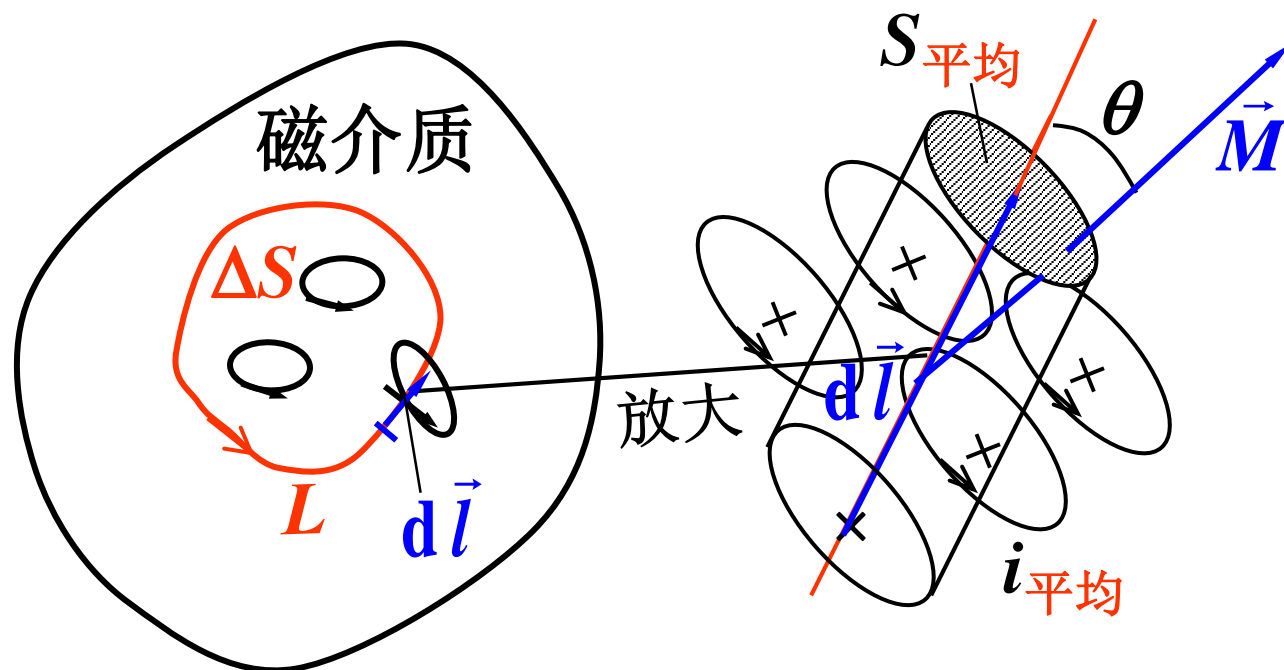


束缚电流或磁化电流

只是一种等效电流，不是真正意义上的电流。



介质内：



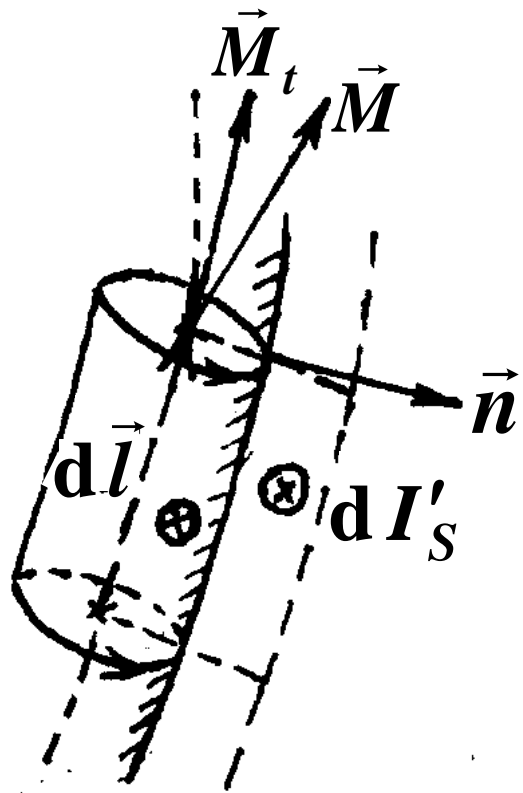
设分子浓度为 n ，则套住 dl 的分子电流：

$$\begin{aligned} dI' &= n \cdot i_{\text{平均}} \cdot (S_{\text{平均}} \cdot \cos \theta \cdot dl) \\ &= M \cdot dl \cdot \cos \theta = \vec{M} \cdot d\vec{l} \end{aligned}$$

穿过 L 所围曲面 ΔS 的磁化电流

$$\sum I' = \oint_L \vec{M} \cdot d\vec{l}$$

介质表面:



选 $d\vec{l} \parallel \vec{M}_t$

$$dI'_s = \vec{M} \cdot d\vec{l} = M_t \cdot dl$$

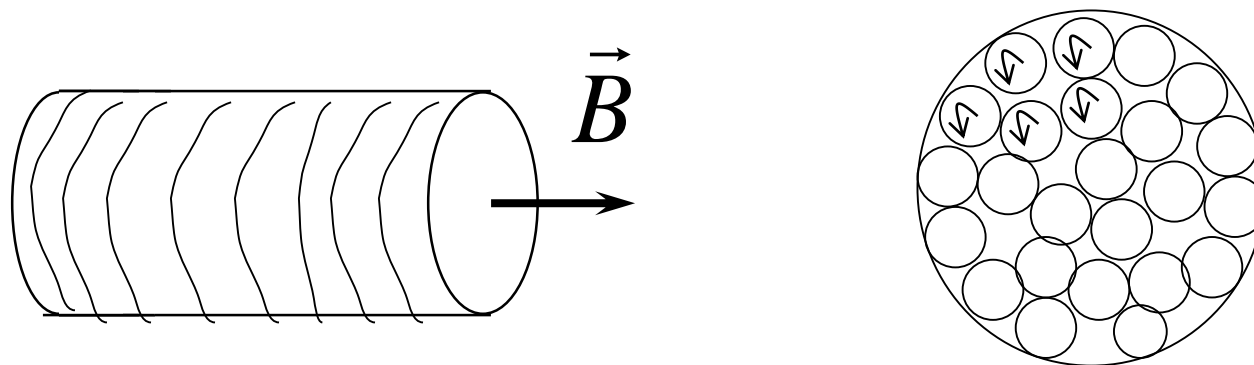
磁化面电流密度

$$j'_s = \frac{dI'_s}{dl} = M_t$$

$$\vec{j}'_s = \vec{M} \times \vec{e}_n$$

称为束缚面电流密度或磁化面电流密度

例 长直螺线管内部充满均匀的各向同性介质，被均匀磁化，磁化强度 M 。求介质产生的磁场。



均匀磁化处，无磁化电流

$$\sum I' = \oint_L \vec{M} \cdot d\vec{l} = \vec{M} \cdot \oint_L d\vec{l} = 0$$

表面磁化电流面密度 M $B_0 = \mu_0 n I$

$B_z' = \mu_0 M$ 磁化电流等效了介质

3. 有介质时的环路定理

$$\oint \vec{B} \cdot d\vec{l} = \mu_0 \sum I = \mu_0 \sum (I_0 + I')$$

$$\oint \underbrace{\left(\frac{\vec{B}}{\mu_0} - \vec{M} \right)}_{\vec{H}} \cdot d\vec{l} = \sum I_0$$

$$\oint \vec{H} \cdot d\vec{l} = \sum I_0$$

4. \vec{B} \vec{M} \vec{H} 三者的关系

普遍

$$\vec{H} = \frac{\vec{B}}{\mu_0} - \vec{M}$$

magnetic intensity

代入

特殊各向同性

$$\vec{M} = \chi_m \vec{H} = (\mu_r - 1) \vec{H} \rightarrow \vec{B} = \mu_0 \mu_r \vec{H}$$

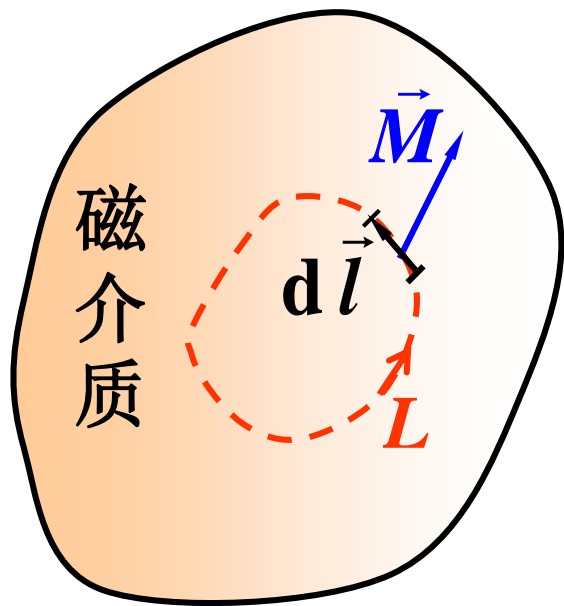
线性介质 μ_r 为常数

*铁芯内上述关系不正确

例3

已知各向同性均匀磁介质内传导电流密度 \vec{j}_0 ，求磁化电流密度

解：



$$I' = \oint_L \vec{M} \cdot d\vec{l} \quad I_0 = \oint_L \vec{H} \cdot d\vec{l}$$

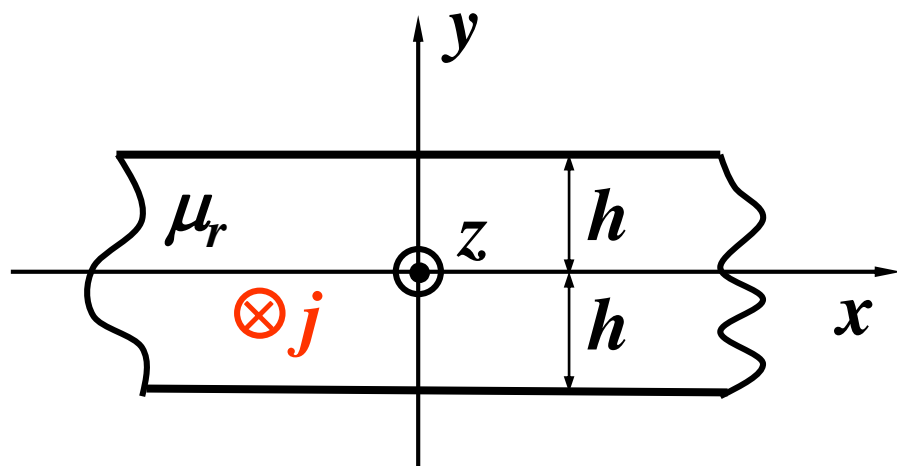
$$\vec{M} = \chi_m \vec{H} = (\mu_r - 1) \vec{H}$$

$$I' = \chi_m I_0 = (\mu_r - 1) I_0$$

L 可任取

$$\vec{j}' = \chi_m \vec{j}_0 = (\mu_r - 1) \vec{j}_0$$

例4 如图所示，已知均匀载流无限大厚平板



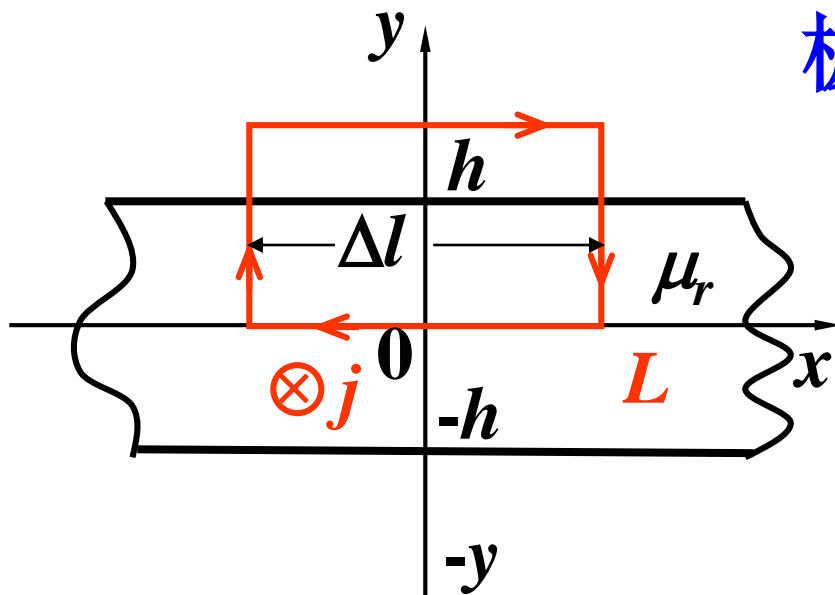
电流密度为 j (沿 z)，
导体相对磁导率为 μ_r ，

求： \vec{B} 和 \vec{j}'_s

解： 分析 \vec{B} 的对称性 (轴矢量镜像对称性)
 yz 平面，以及平行于 yz 平面的镜像对称性
 xz 平面的镜像对称性

\vec{B} 只有 x 分量，且 $y = 0$ 处为零

$$\vec{B} = \mu_o \mu_r \vec{H}$$



板外：对图示矩形回路 L ,

$$\oint_L \vec{H} \cdot d\vec{l} = j \cdot (\Delta l \cdot h)$$

$$H_{\text{外}} \cdot \Delta l = jh \cdot \Delta l$$

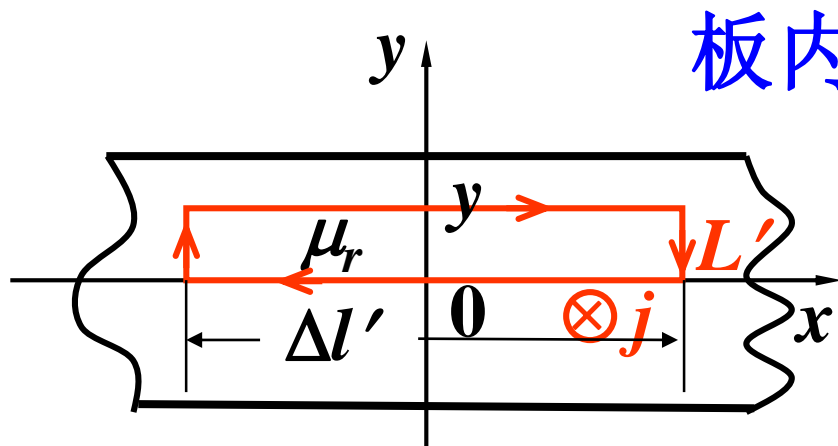
$$H_{\text{外}} = jh$$

同理对下半部分

$$\vec{H} = -jh\hat{x} \quad y < -h$$

$$\vec{H} = jh\hat{x} \quad y > h$$

$$\vec{B}_{\text{外}} = \mu_0 \vec{H}_{\text{外}}$$



板内： 对图示矩形回路 L'

$$\oint_{L'} \vec{H}_{\text{内}} \cdot d\vec{l} = j \cdot (\Delta l' \cdot y)$$

$$H_{\text{内}} \cdot \Delta l' = jy \cdot \Delta l'$$

同理对下半部分

$$\vec{H} = jy\hat{x} \quad 0 < y < h$$

$$\vec{H} = -jy\hat{x} \quad 0 > y > -h$$

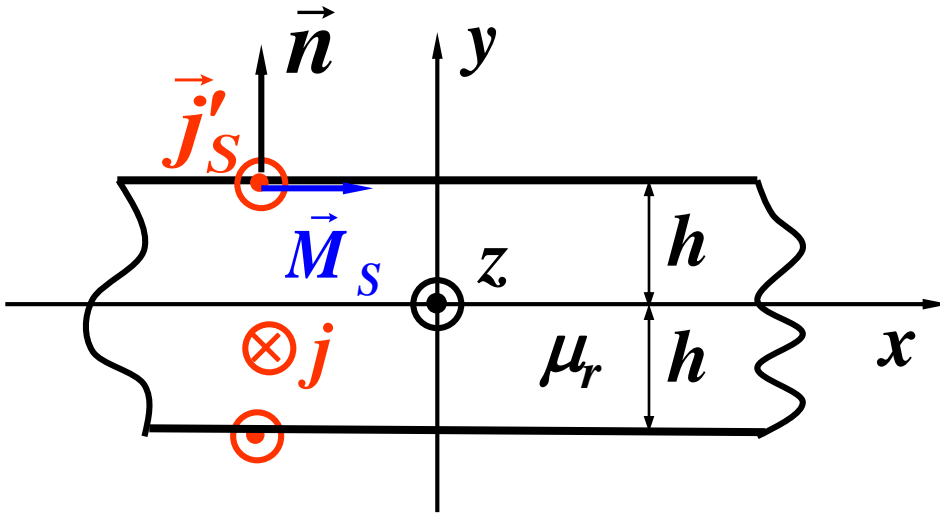
$$\vec{B}_{\text{内}} = \mu_0 \mu_r \vec{H}_{\text{内}}$$

板内磁化电流密度

$$\vec{M} = (\mu_r - 1)\vec{H}$$

$$\vec{j}' = (\mu_r - 1)\vec{j}$$

磁化面电流密度



$$\vec{j}'_S = \vec{M}_S \times \vec{e}_n$$

$$\begin{aligned}\vec{M}_S &= \chi_m \vec{H}_{\text{内}S} \\ &= (\mu_r - 1) \vec{H}_{\text{内}S}\end{aligned}$$

上表面: $\vec{e}_n = \hat{y}$, $\vec{M}_S = (\mu_r - 1)(jh\hat{x})$

$$\vec{j}'_S = (\mu_r - 1)jh\hat{z} = -(\mu_r - 1)h \cdot \vec{j}$$

下表面: $\vec{e}_n = -\hat{y}$, $\vec{M}_S = (\mu_r - 1)(-jh\hat{x})$

$$\vec{j}'_S = -(\mu_r - 1)h \cdot \vec{j} \text{ (同上表面)}$$

5. 稳恒磁场在物质分界面上的边界条件

界面某点P两侧的磁场场量的关系

过场点作扁圆柱面

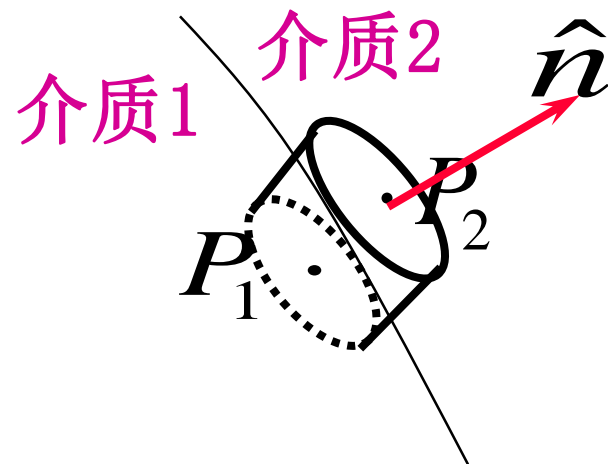
由
$$\oiint_S \vec{B} \cdot d\vec{S} = 0$$

得

$$B_{1n} = B_{2n}$$

由介质方程有

$$\frac{H_{2n}}{H_{1n}} = \frac{\mu_1}{\mu_2}$$



过场点作狭长矩形回路

由于 $J_0 = 0$

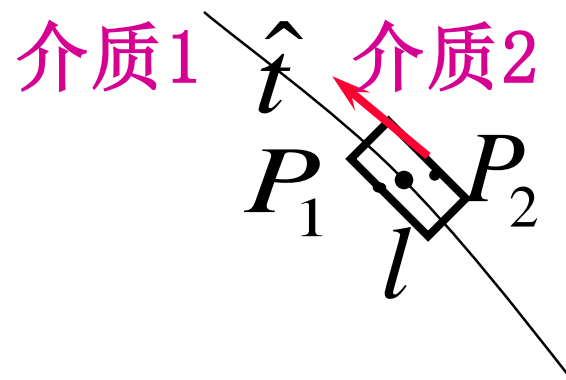
有 $\oint_L \vec{H} \cdot d\vec{l} = 0$

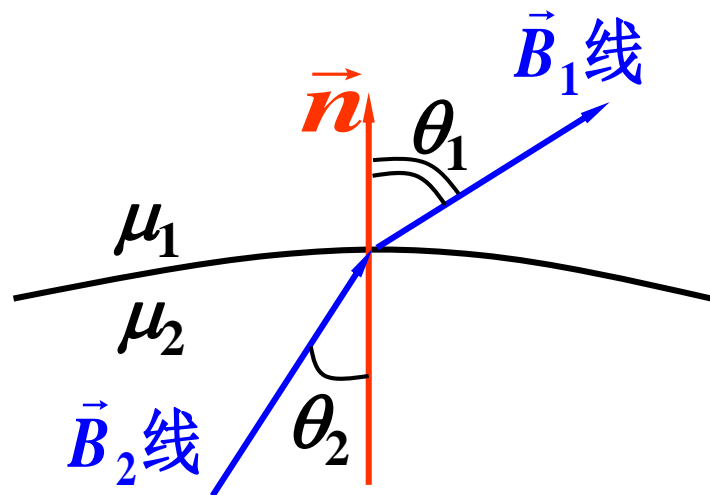
得

$$H_{1t} = H_{2t}$$

由介质方程有

$$\frac{B_{2t}}{B_{1t}} = \frac{\mu_2}{\mu_1}$$

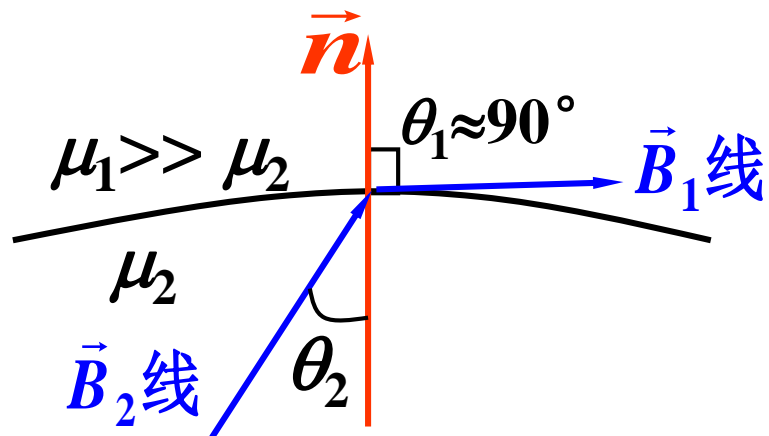




$$\frac{1}{\mu_1} \operatorname{tg} \theta_1 = \frac{1}{\mu_2} \operatorname{tg} \theta_2$$

若 $\mu_1 > \mu_2$, 则 $\theta_1 > \theta_2$,

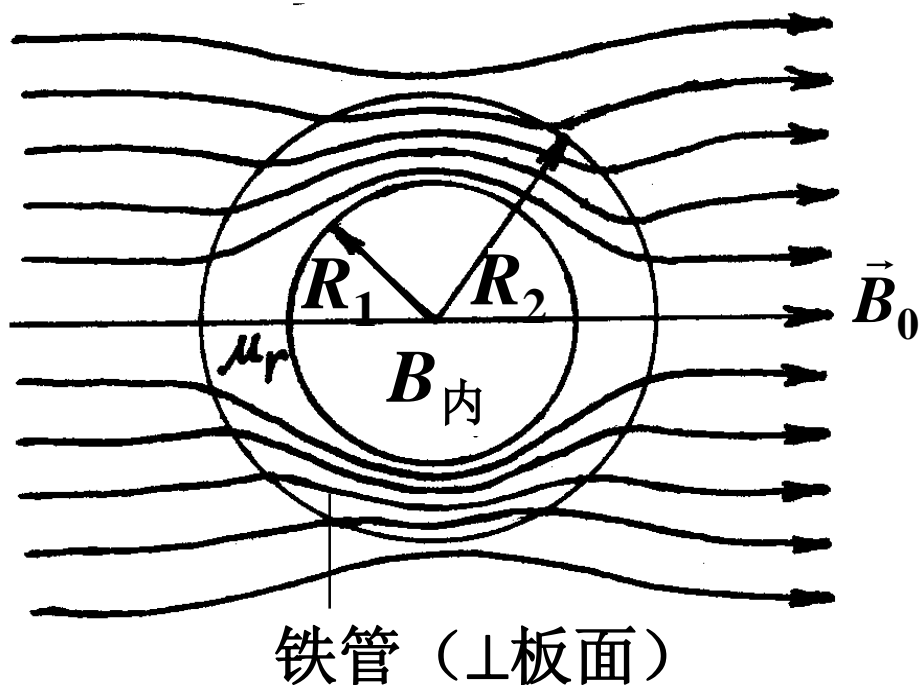
当 $\mu_1 \gg \mu_2$ 时,



$$\operatorname{tg} \theta_1 = \frac{\mu_1}{\mu_2} \operatorname{tg} \theta_2 \gg 1, \theta_2 \neq 0, \theta_1 \approx \frac{\pi}{2}。$$

在 μ_1 很大的介质1中, \vec{B} 线几乎平行界面,
这就是铁磁质中 **\vec{B} 线沿铁芯延续**的情形。

▲ 静磁屏蔽



计算表明:

屏蔽系数

$$B_{\text{内}} = k B_0$$

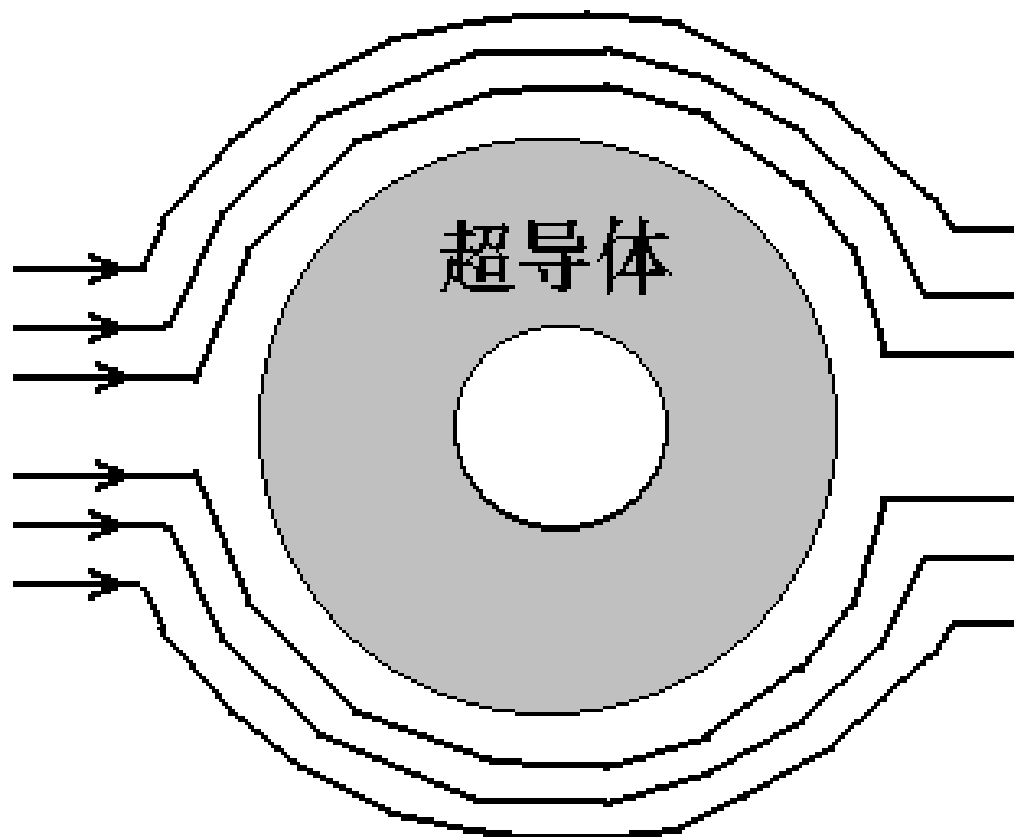
若 $\begin{cases} \mu_r = 4000 \\ R_2 = 10\text{cm} \end{cases}$

则 $\begin{cases} t = 0.1\text{cm} \text{ 时, } k = 5\% \\ t = 1\text{cm} \text{ 时, } k = 0.5\% \end{cases}$

$$t = (R_2 - R_1) \ll R_2$$

精密探头、显象管...都需要磁屏蔽。

完全磁屏蔽



完全磁屏蔽
(Meissner效应)

(演示实验)

19.3 铁磁质 ferromagnet

一、磁畴 domain

铁磁质 $\vec{m} \neq 0$

外斯 – “分子场” 唯像理论

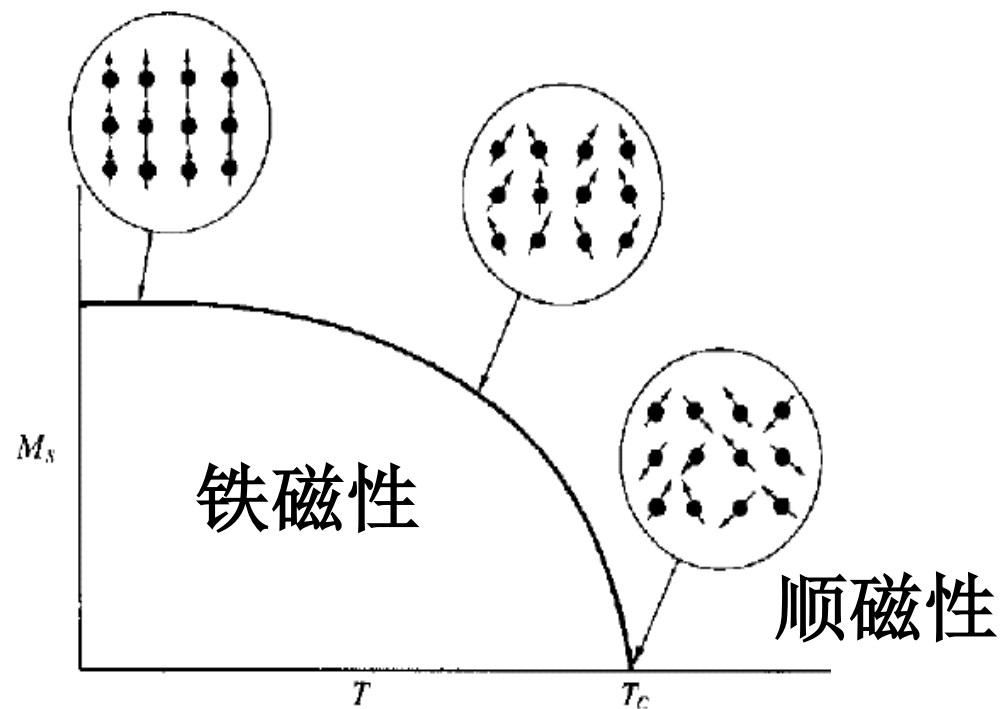
1) 居里点

$T < T_c$ 铁磁性

$T > T_c$ 顺磁性

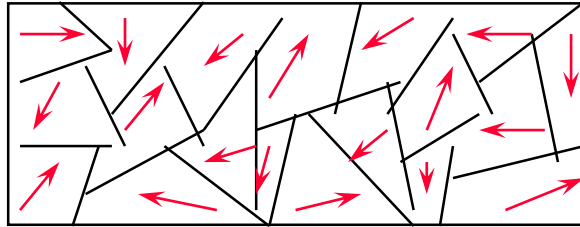
纯铁 $T_c = 770^\circ \text{C}$

纯镍 $T_c = 358^\circ \text{C}$



2) 磁畴

居里点下，铁磁介质磁矩自发顺排，线度 $10^{-4}m$

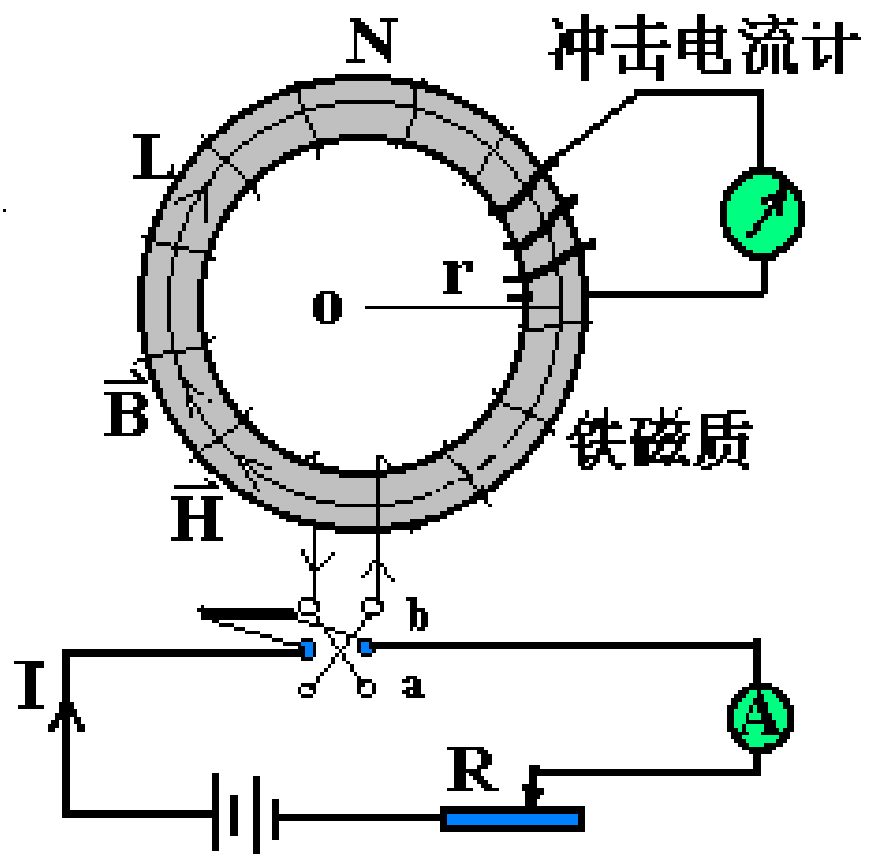


量子效应，不是磁矩间经典电磁相互作用

没有外加磁场，磁畴通常无规取向

外加磁场，磁畴边界慢慢移动，与外磁场顺排的磁畴边界扩大，反之则缩小。

二、磁化曲线

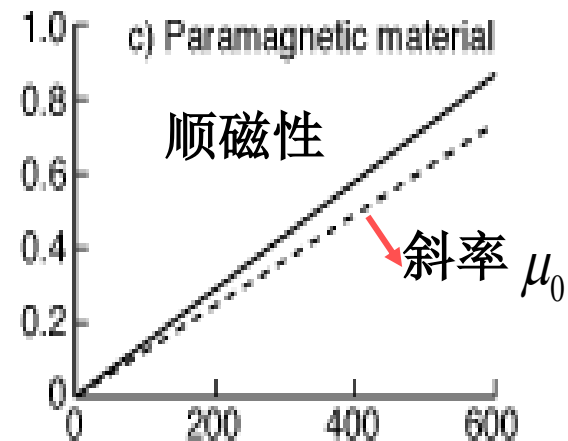
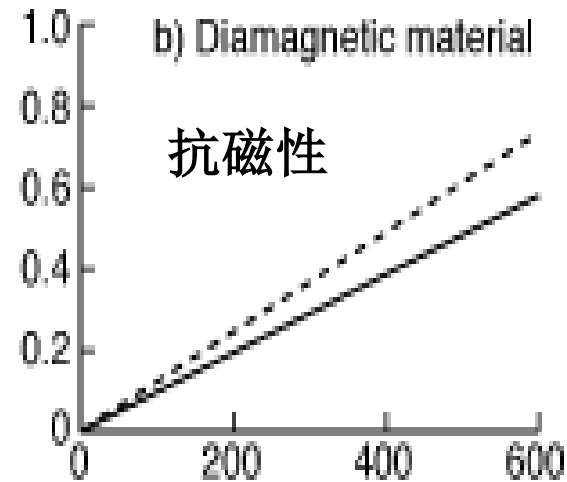
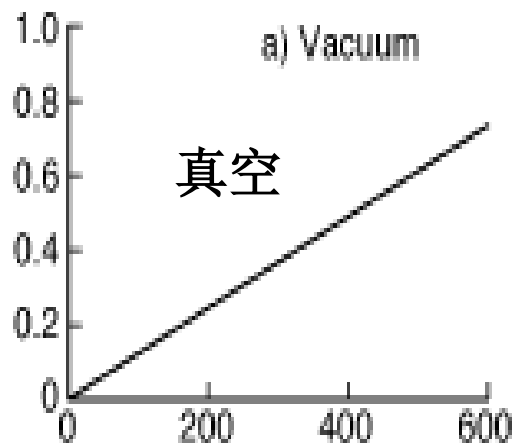
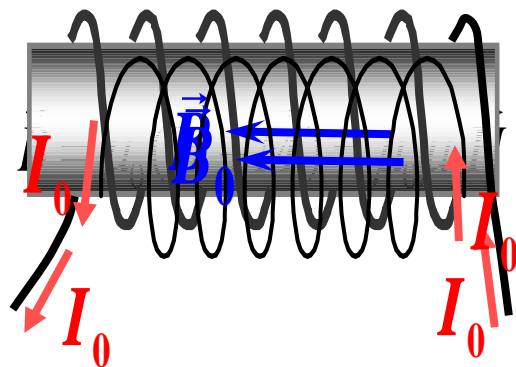


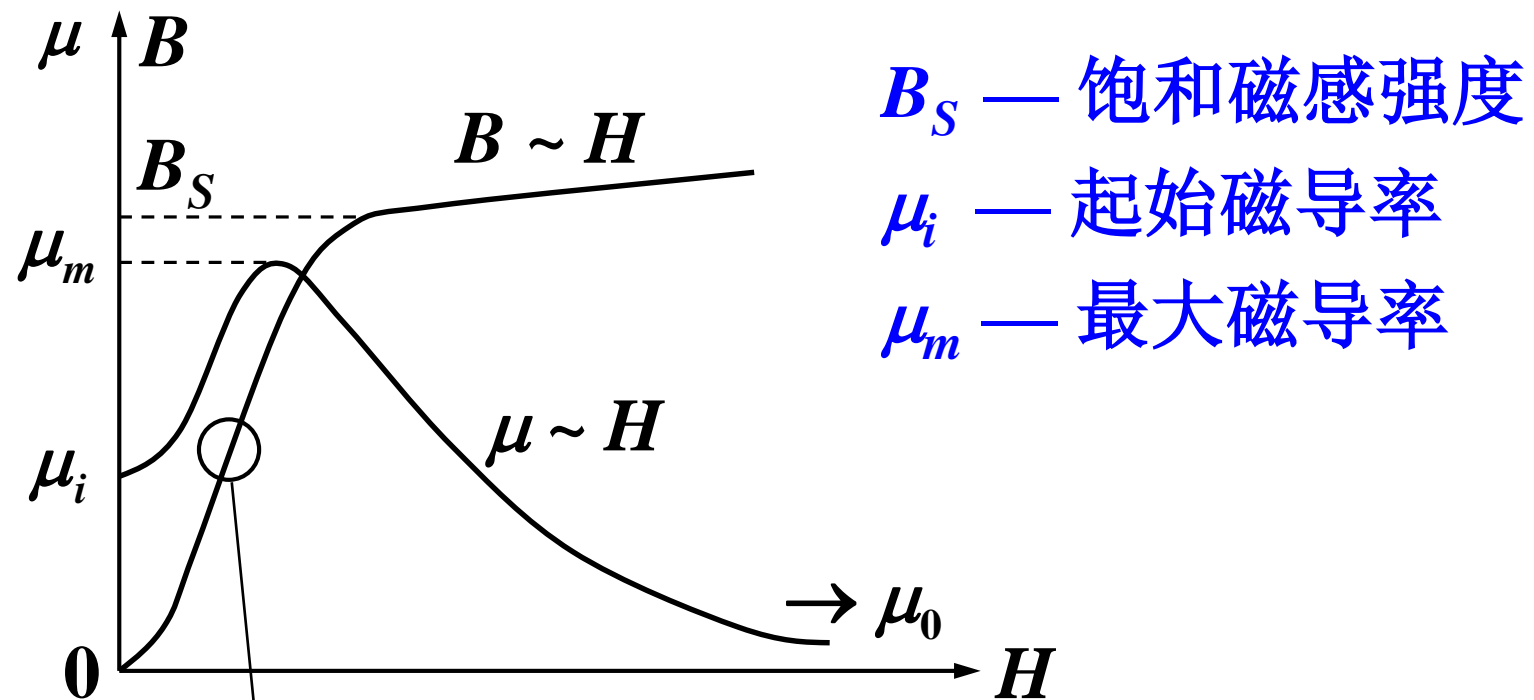
内部 $H = \frac{NI}{2\pi r}$

I 励磁电流

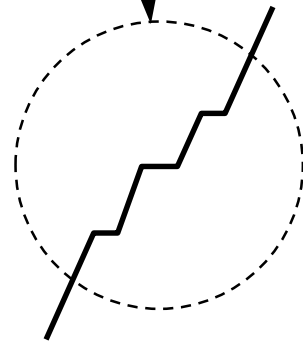
起始磁化曲线

顺磁性和抗磁性物质



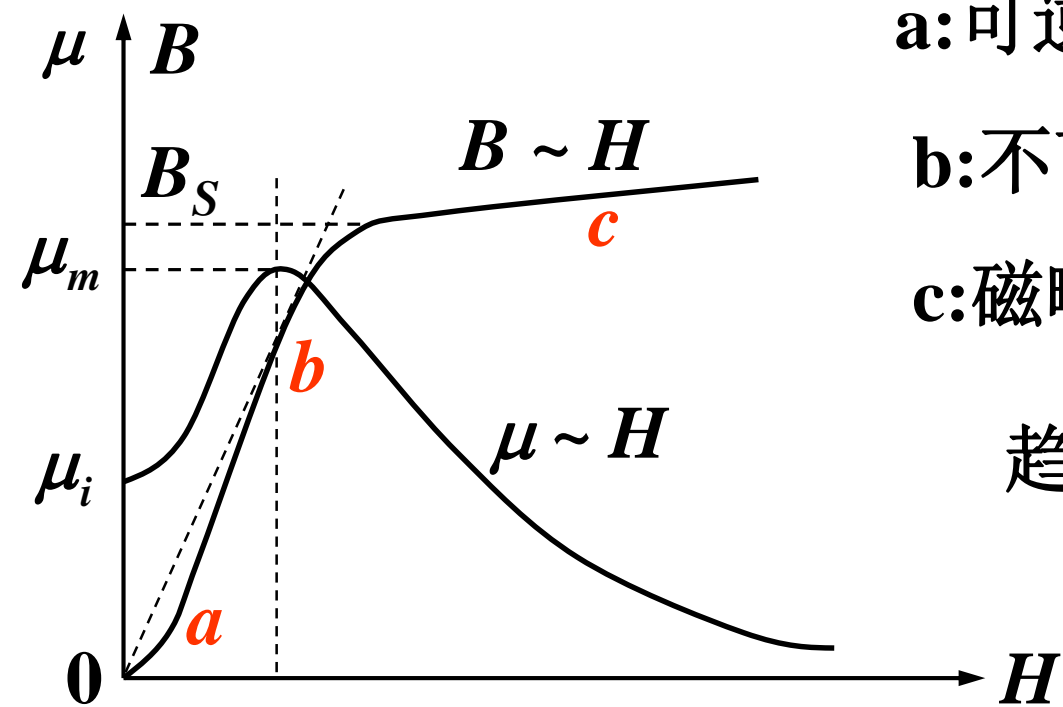


巴克豪森效应



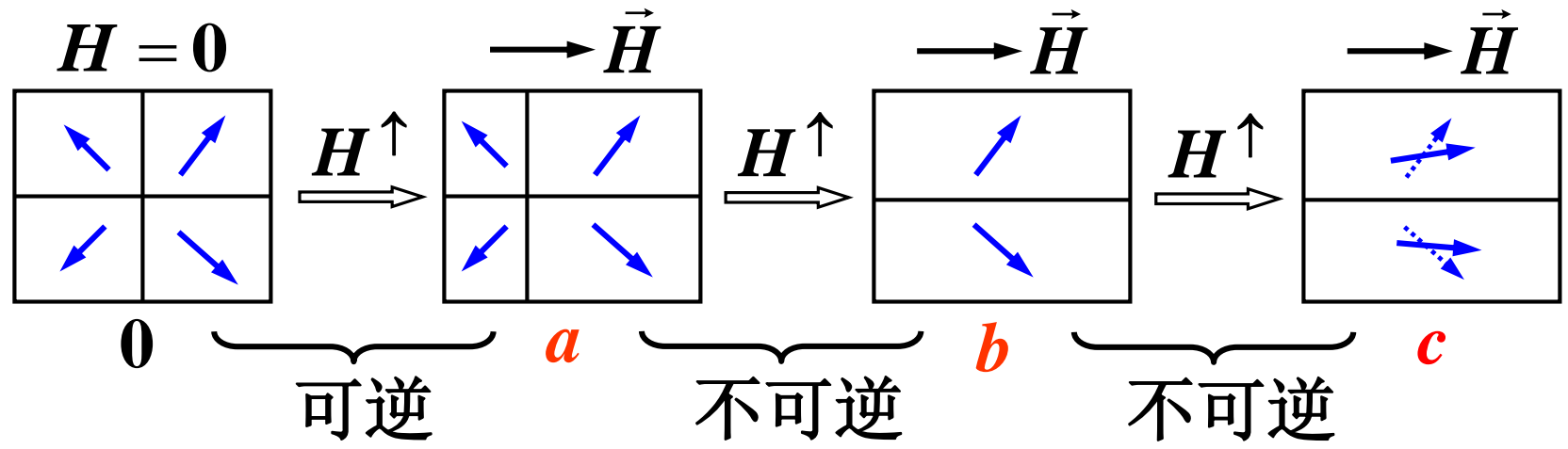
用途：金相结构分析，测晶粒度、杂质、应力分布，是无损探测。

磁化过程

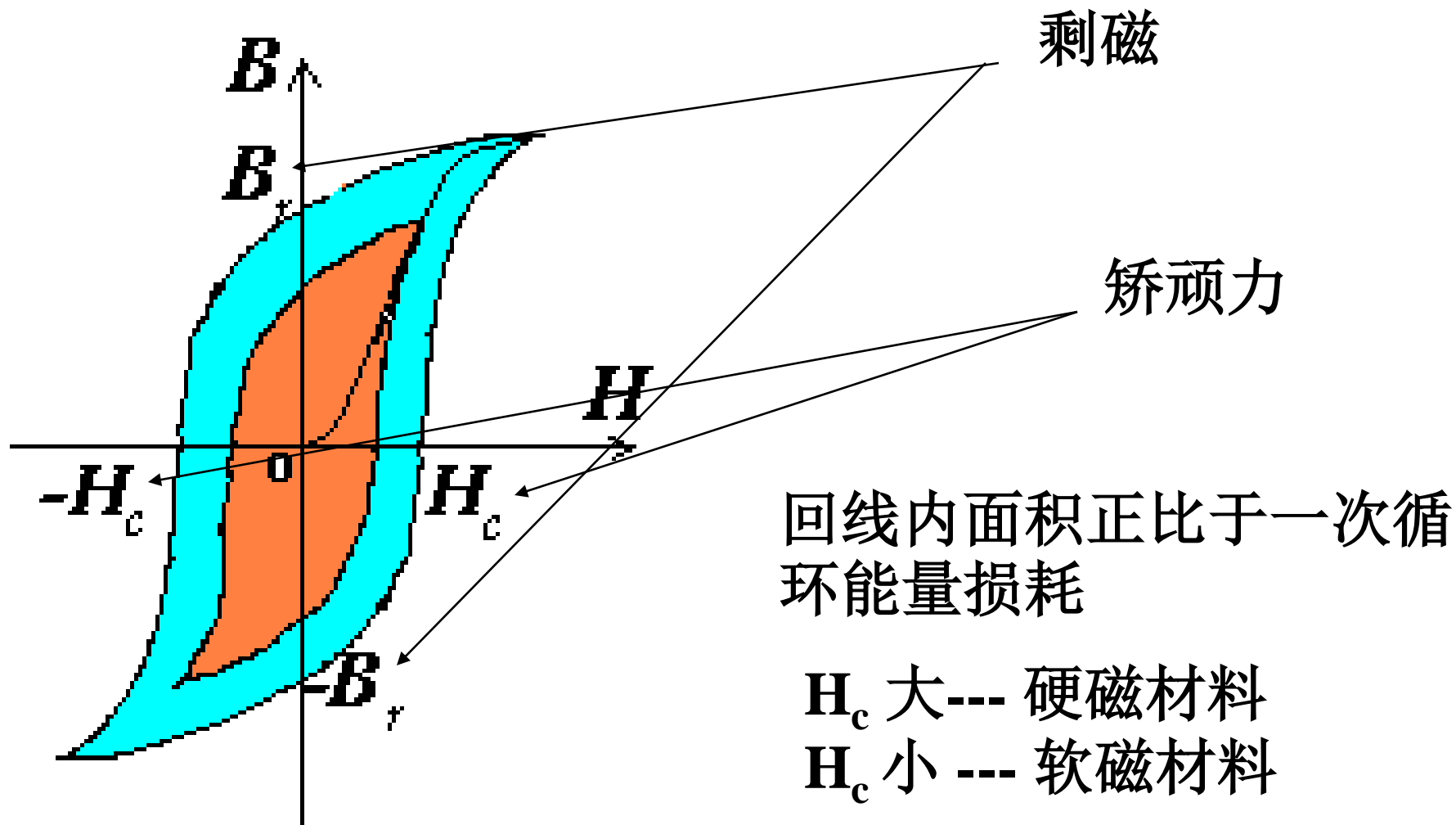


- a:可逆位移
- b:不可逆磁化
- c:磁畴磁矩转动

趋近饱和



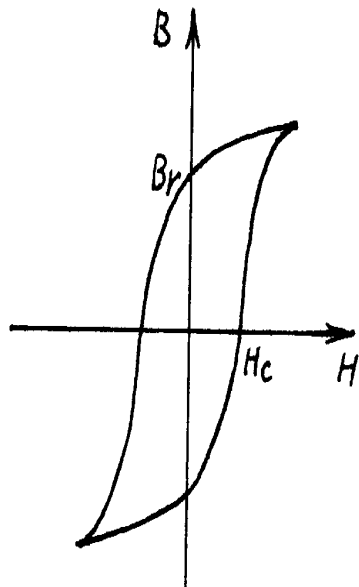
磁滞回线



磁畴边界的不可逆性，引起磁滞现象

硬磁和软磁材料

碳钢、钨钢

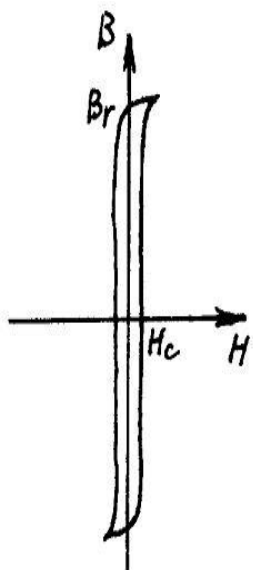


磁滞回线“胖” 磁滞损耗大

H_c 大($>10^2 \text{ A/m}$), 一般 10^4 - 10^6 A/m

B_r 大 (10^3 - 10^4 G)

适合制作永久磁铁、磁芯（记忆元件）等



坡莫合金 (Fe78%、Ni 22%)

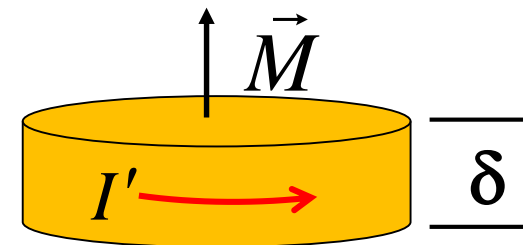
磁滞回线“瘦” 磁滞损耗小

H_c 小 ($<10^2 \text{ A/m}$) 一般约 1 A/m

适于制作交流电磁铁、变压器铁芯等

（演示实验）

例: 沿轴均匀极化铁磁体, 圆柱厚度 $\delta \ll 1$, 半径 R , 求: 轴线上铁磁体外靠近底面的 B 和 H



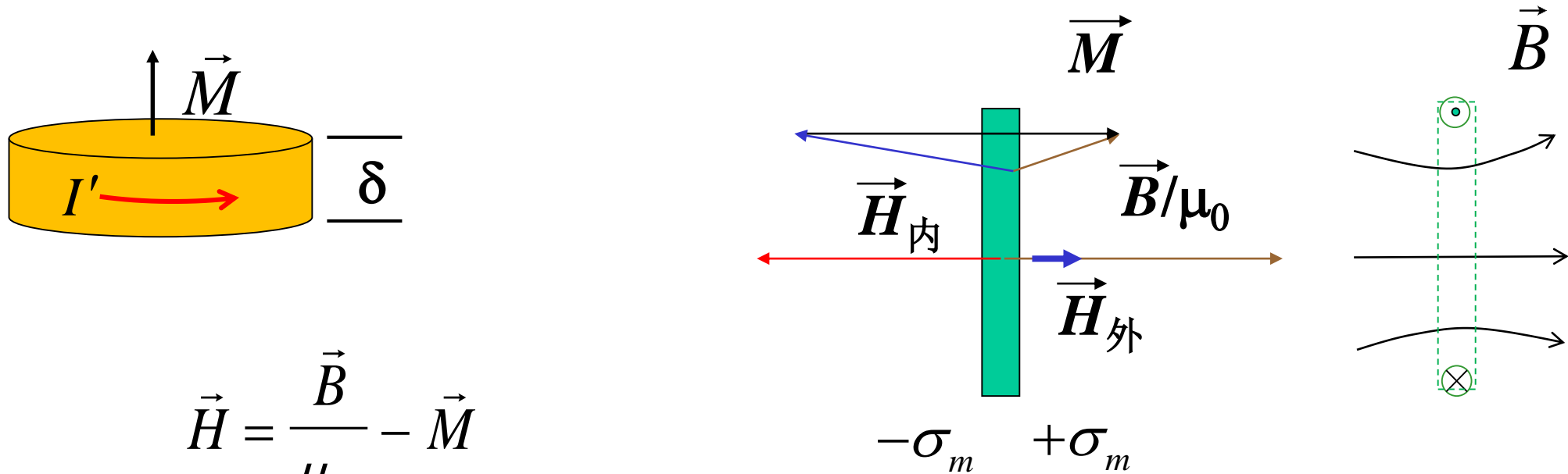
$$\vec{M} \neq (\mu_r - 1)\vec{H} \quad \vec{B} \neq \mu_0 \mu_r \vec{H}$$

解: 等效的电流应在圆柱侧面 $j' = M$

可看作环电流 $j' \delta$ 在中心的场

$$B = \frac{\mu_0 M \delta}{2R} \quad H_{\text{内}} = M \left(\frac{\delta}{2R} - 1 \right)$$

$$B \text{ 连续} \quad H_{\text{外}} = M \frac{\delta}{2R}$$



$$\vec{H} = \frac{\vec{B}}{\mu_0} - \vec{M}$$

$$H_{\text{内}} = M \left(\frac{\delta}{2R} - 1 \right)$$

$$H_{\text{外}} = M \frac{\delta}{2R}$$

$$E = \frac{\sigma}{\epsilon_0}$$

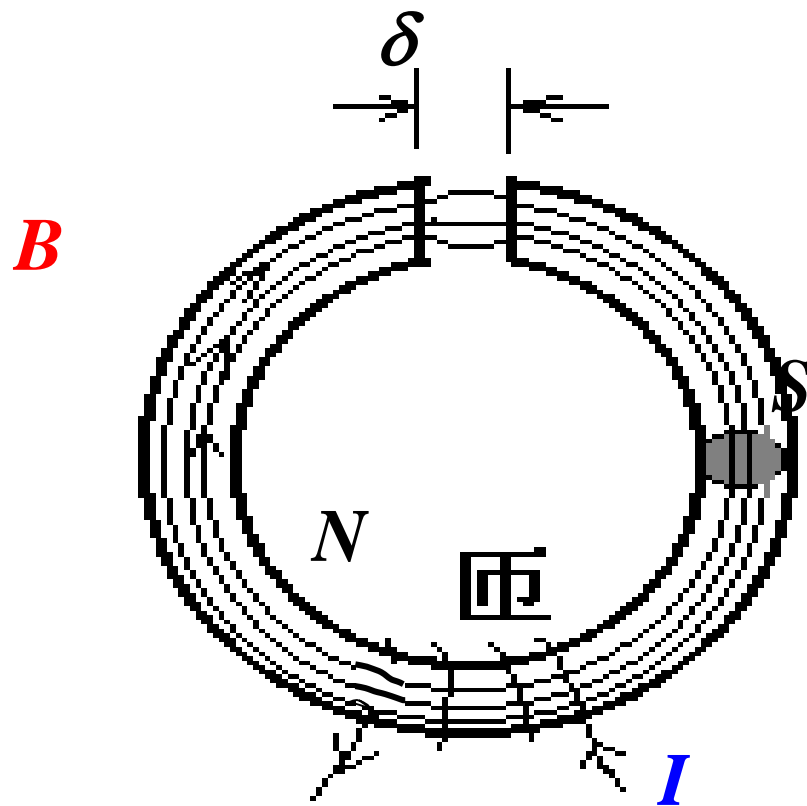
$$E \ll \frac{\sigma}{\epsilon_0}$$

Diagram showing two vertical lines representing charges $-\sigma$ and $+\sigma$, with a horizontal arrow indicating the electric field E .

$$\vec{E} \Leftrightarrow \vec{H}$$

“磁荷”

19.4 简单磁路



（简单）磁路铁芯构成磁力线集中的通路，铁芯外部相对较弱的磁场叫漏磁。

$$\vec{B} = \mu_o \mu_r \vec{H}$$

B 处处相等、铁芯内 H 小，气隙处 H 大

类比关系

$$\vec{j} = \sigma(\vec{E} + \vec{E}_{\text{非}})$$

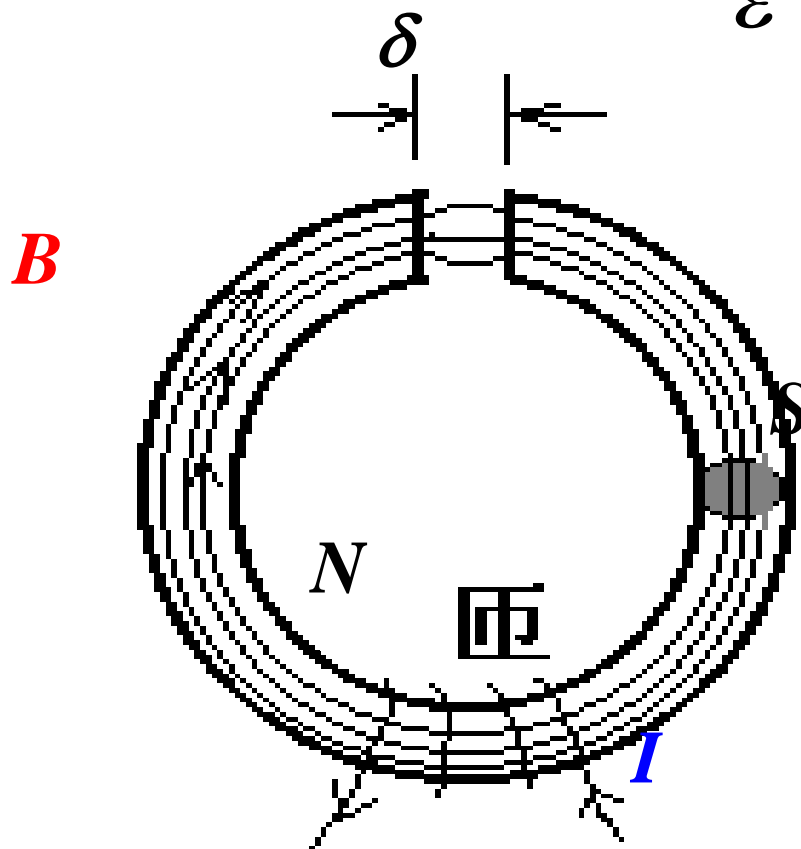
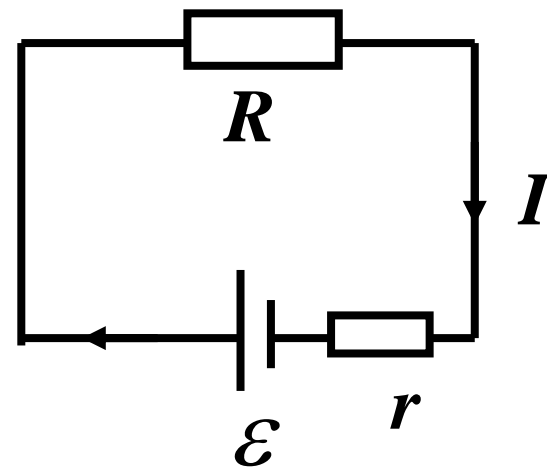
$$\oint_L (\vec{E} + \vec{E}_{\text{非}}) \cdot d\vec{l} = \oint_L \vec{E}_{\text{非}} \cdot d\vec{l} = \varepsilon$$

$$I = \iint \vec{j} \cdot d\vec{S}$$

$$\vec{B} = \mu \vec{H}$$

$$\oint_L \vec{H} \cdot d\vec{l} = NI$$

$$\Phi = \iint \vec{B} \cdot d\vec{S}$$



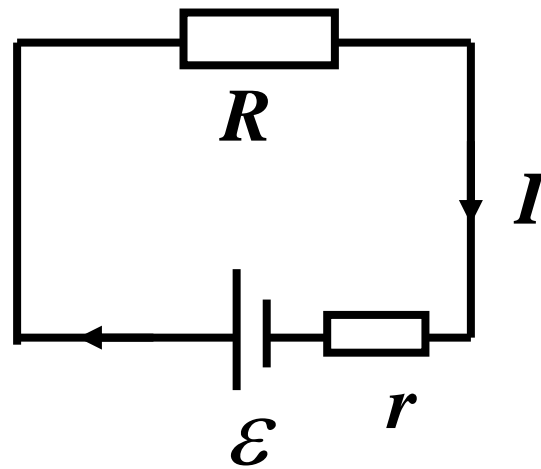
类比

$$R = \frac{l}{\sigma S}$$

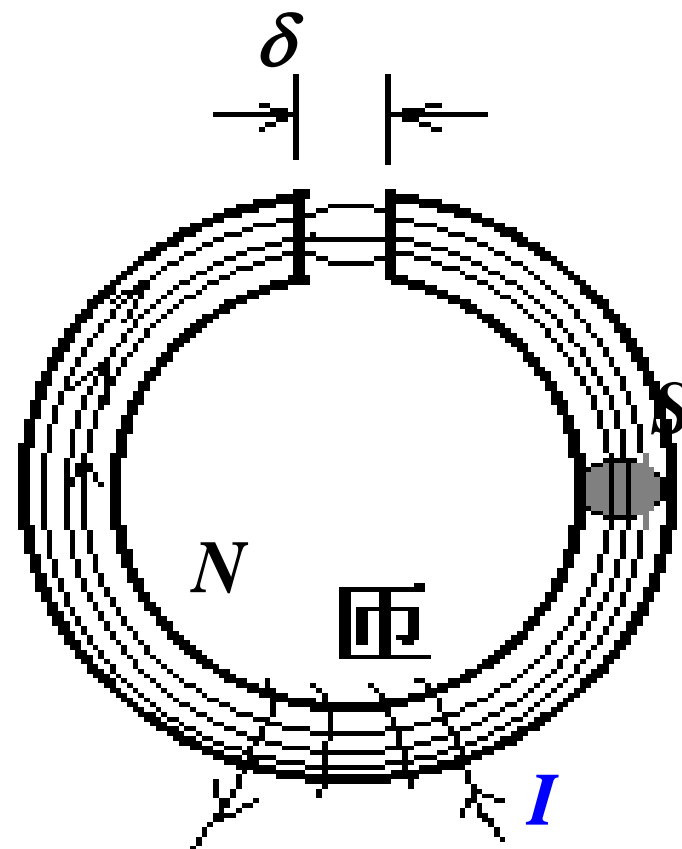
$$I(R + r) = \mathcal{E}$$

$$R_m = \frac{l}{\mu_r \mu_0 S}$$

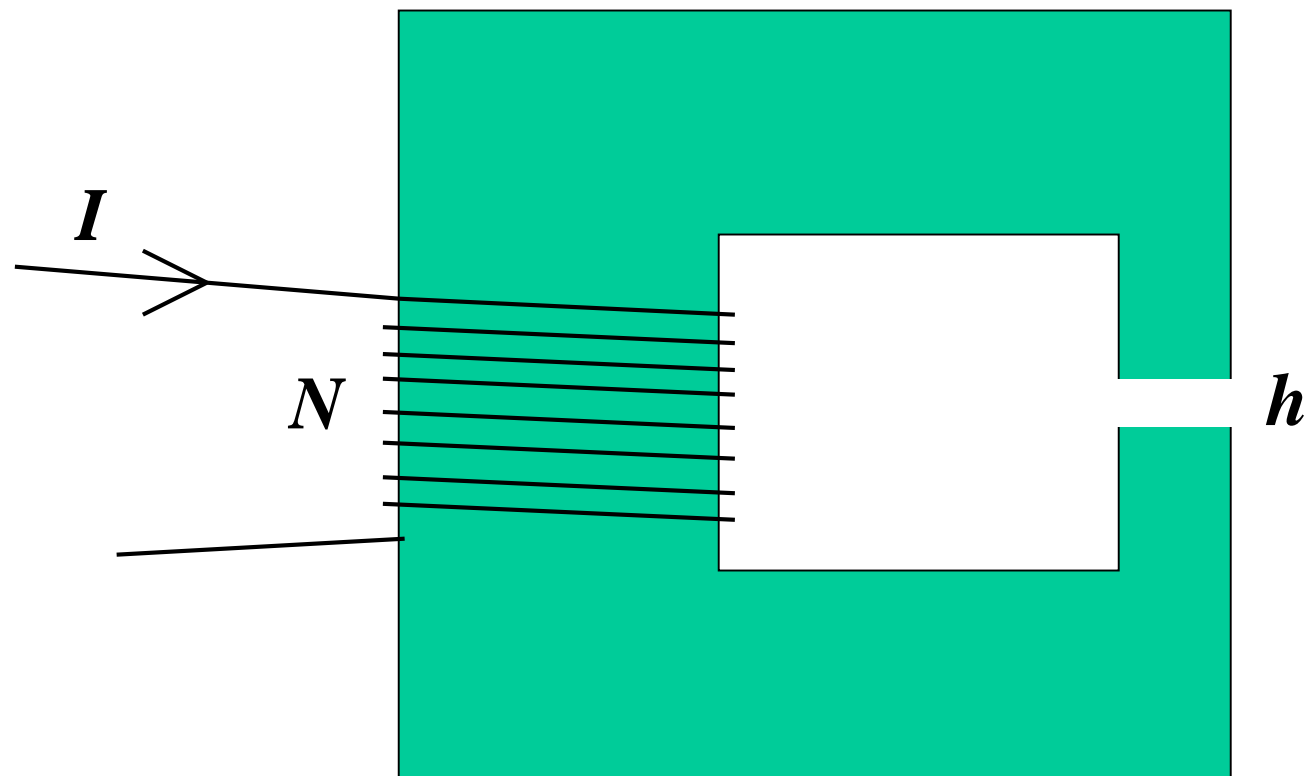
$$\Phi \left(\frac{l}{\mu_r \mu_0 S} + \frac{\delta}{\mu_0 S} \right) = NI$$



B



例:



$$NI \approx Hh \quad NI \approx \Phi R_m = BS \frac{h}{\mu_0 S} = \frac{Bh}{\mu_0}$$

$$B = \mu_0 \frac{NI}{h}$$